Titre : SSLL116 - Treillis 3D renforcé Responsable : Jean-Luc FLÉJOU

Date: 01/08/2011 Page: 1/5 Clé: V3.01.116 Révision: 6859

SSLL116 - Treillis 3D renforcé

Résumé:

Ce test concerne l'étude d'un treillis composé de poutres élancées, en analyse statique linéaire.

Le treillis est modélisé avec des éléments linéiques (SEG2) et soumis à un chargement ponctuel et à l'effet de la pesanteur.

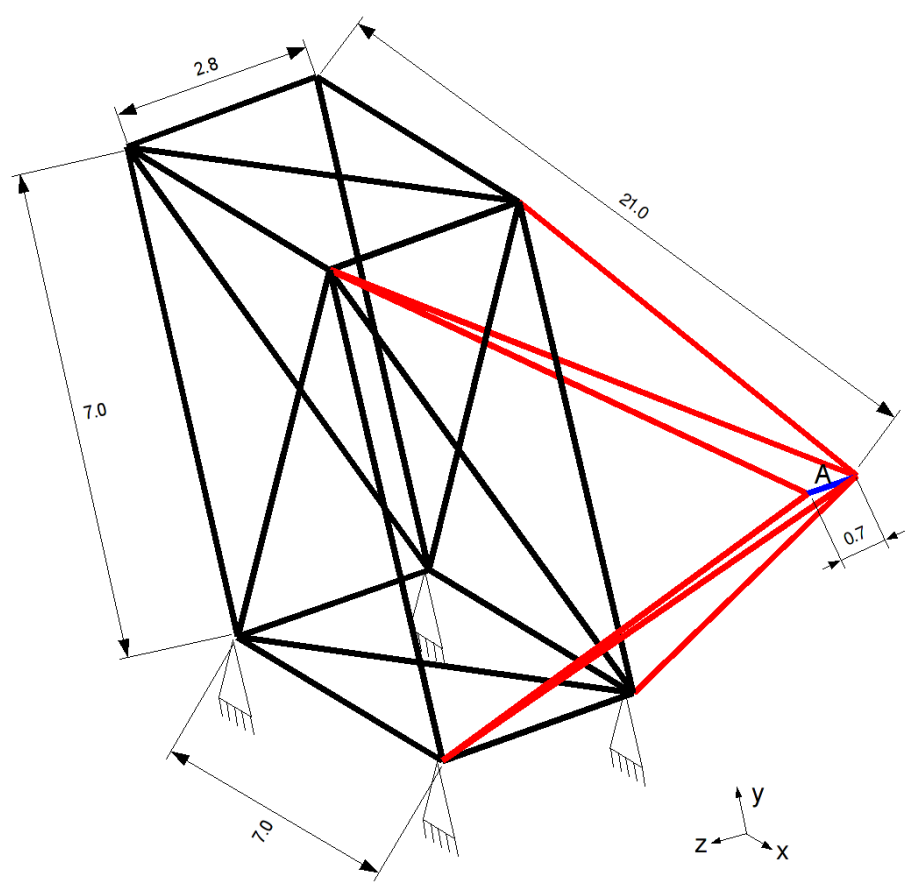
Il y a une modélisation avec une première géométrie, puis une modélisation avec des barres de renfort.

Ce test est un exemple à visée didactique puisqu'il montre la construction de la solution par éléments finis plutôt que d'utiliser directement MECA STATIQUE.

Titre: SSLL116 - Treillis 3D renforcé Date: 01/08/2011 Page: 2/5 Responsable : Jean-Luc FLÉJOU Clé: V3.01.116 Révision: 6859

Problème de référence

1.1 Géométrie



Le treillis est constitué de poutres de sections :

- pour les ——, annulaires R = 0.05, ep = 0.02 pour les ——, circulaires R = 0.05 pour les ——, circulaires R = 0.07

Le point A est au milieu de la tige finale.

1.2 Propriétés de matériaux

Matériau élastique linéaire isotrope :

E=1.962 E11 Pa; v=0.3

1.3 **Conditions aux limites et chargements**

La base du treillis est encastrée.

Chargements

 $F_y = -20E6N$ $g = -9.81 \, m/s^2$ Force nodale verticale en A: Champ de pesanteur (suivant x)

Solution de référence

Résultats de référence

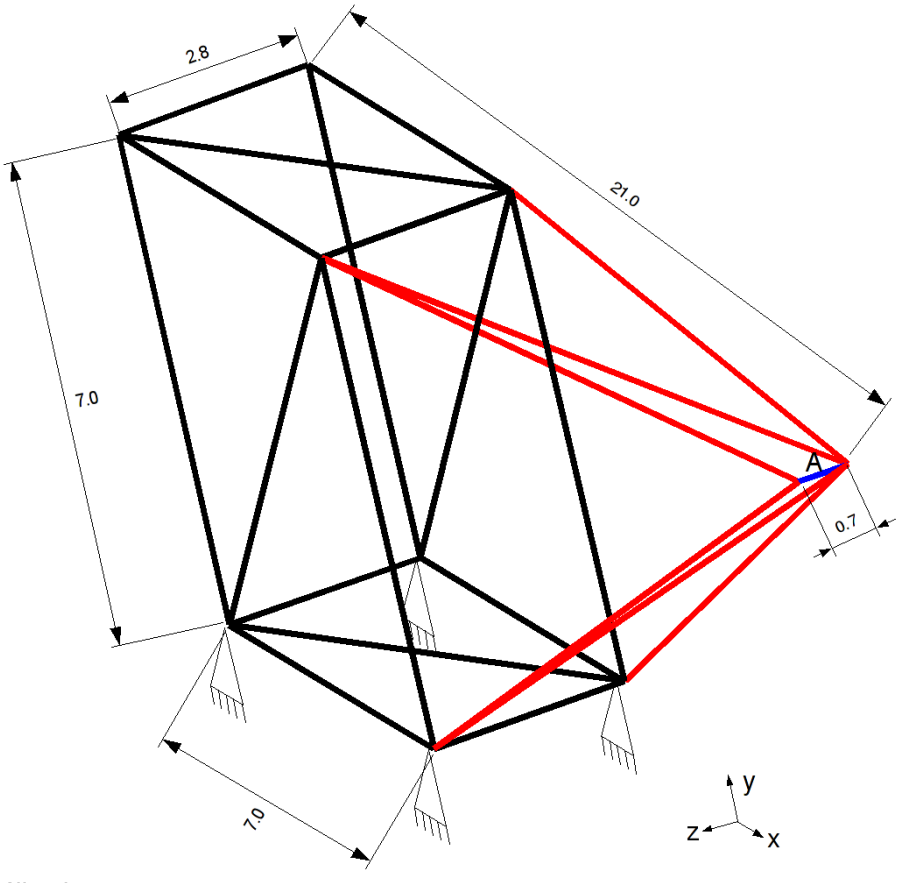
Les déplacements et rotations du nœud A (DEPL)..

Les résultats calculés dans ce cas test sont issus d'une exécution antérieure d'Aster. C'est un cas test de non régression.

Titre : SSLL116 - Treillis 3D renforcé Date : 01/08/2011 Page : 3/5
Responsable : Jean-Luc FLÉJOU Clé : V3.01.116 Révision : 6859

3 Modélisation A

3.1 Caractéristiques de la modélisation



- Modélisation POU D T
- Pas de renforts

3.2 Caractéristiques du maillage

Le maillage est obtenu par GMSH. Nombre de nœuds : 247 Nombre de mailles : 267

3.3 Grandeurs testées et résultats

Chargement	Valeur testée	Aster
Force concentrée verticale en A	Déplacement en A Dx	7.20564E-01
	Déplacement en A Dy	-2.02277
	Déplacement en A Dz	-1.12417
	Rotation en A Drx	9.88004E-01
	Rotation en A Dry	1.83637E-01
	Rotation en A Drz	-1.12592E - 01

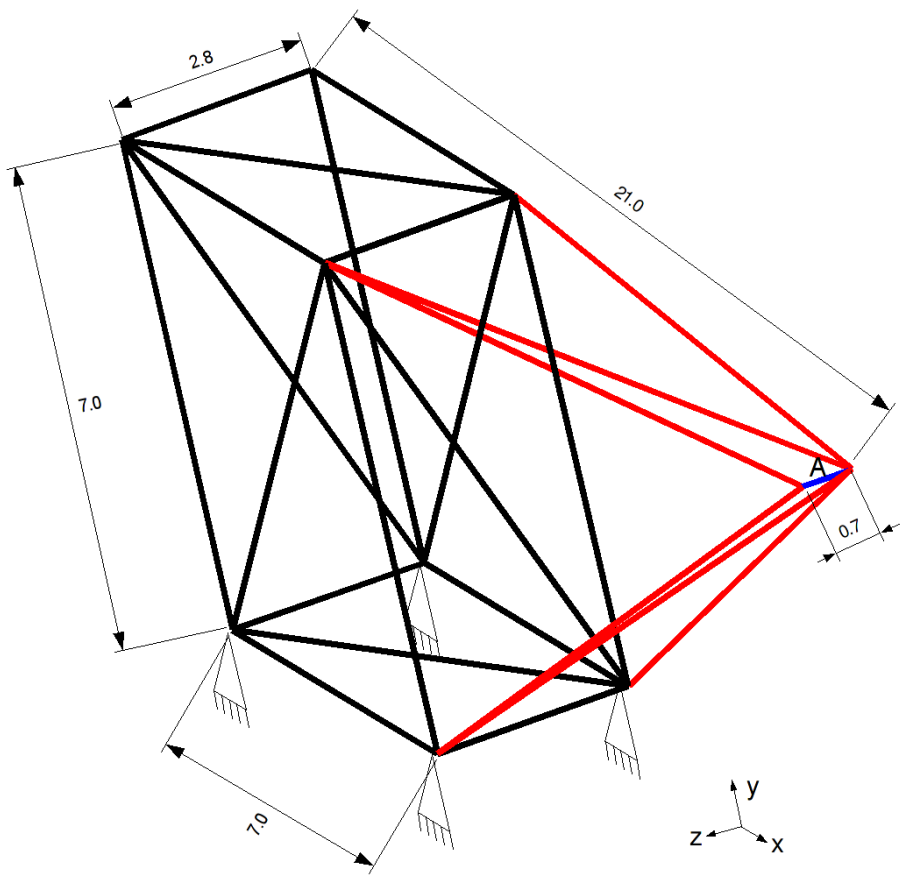
3.4 Remarques

On voit que la non-symétrie de la flèche du treillis entraı̂ne des déplacements suivant z, bien que la force appliquée le soit suivant Y et X seulement (force de pesanteur)

Titre : SSLL116 - Treillis 3D renforcé Date : 01/08/2011 Page : 4/5
Responsable : Jean-Luc FLÉJOU Clé : V3.01.116 Révision : 6859

4 Modélisation B

4.1 Caractéristiques de la modélisation



- Modélisation POU D T
- Barres de renfort

4.2 Caractéristiques du maillage

Le maillage est obtenu par GMSH. Nombre de nœuds : 265 Nombre de mailles : 287

4.3 Grandeurs testées et résultats

Chargement	Valeur testée	Aster
Force concentrée verticale en A	Déplacement en A Dx	6.61627E-01
	Déplacement en A Dy	-1.82145
	Déplacement en A Dz	-2.6628E-01
	Rotation en A Drx	8.48048E-01
	Rotation en A Dry	1.68397E-01
	Rotation en A Drz	-9.43511E-02

4.4 Remarques

Les renforts ont permis de diminuer les déplacements de la flèche du treillis.

Titre : SSLL116 - Treillis 3D renforcé Responsable : Jean-Luc FLÉJOU

5 Synthèse des résultats

Cet exemple montre une façon de mener le calcul de manière « didactique » en construisant explicitement les vecteurs et les matrices nécessaires pour un calcul standard par éléments finis.